

Original Article

Bioinformatics study and cloning of a stem loop structure required for it's over expression

Zahra Shabaninejad, Fatemeh Yousefi, Bahram Mohammad Soltani*, Seyed Javad Mowla

Department of Molecular Genetics, School of Biological Sciences, Tarbiat Modares University, Tehran, Iran

*Corresponding author; E-mail: soltanib@modares.ac.ir

Received: 15 November 2015 Accepted: 26 January 2016 First Published online: 29 April 2018
Med J Tabriz Uni Med Sciences Health Services. 2018 June-July; 40(2):50-56

Abstract

Background: ERBB2 is a member of the human epidermal growth factor receptor family and is located at large arm of chromosome 17. This receptor can activate a variety of signaling pathways which inhibit apoptosis and induce cell proliferation. MiRNAs are small, single strand, non coding RNAs that regulate gene expression at post transcriptional level and control important cellular processes such as proliferation, differentiation, apoptosis and tumor genesis. Genomic location of miRNAs demonstrated that they are located at fragile and/ or cancer related chromosomal regions. The aim of this study is production of necessary structure to over express the predicted area of a novel miRNA in ERBB2 gene following its bioinformatics prediction.

Methods: Different bioinformatics software was used to investigate stem loop structures with a potential to produce novel miRNAs, Dicer and Drosha enzymes recognition sites and conservation of interested area. Then the surrounding area of candidate stem loop structure was cloned in pEGFPC1 expression vector successfully.

Results: Different software study shows a high probability of processing a mature miRNA. The required construct for more studies was cloned in pEGFPC1 expression vector successfully.

Conclusion: Bioinformatics analysis predictING stem loop structure has a potential to produce a novel miRNA.

Keywords: Bioinformatics, ERBB2 Gene, Cloning

How to cite this article: Shabaninejad Z, Yousefi F, Mohammad Soltani B, Mowla S.J. [Bioinformatics Study and Cloning of a Stem loop Structure required for its Overexpression]. Med J Tabriz Uni Med Sciences Health Services. 2018 June-July;40(2):50-56. Persian.

مقاله پژوهشی

مطالعه بیوانفورماتیکی ساختار ساقه حلقه و کلون نمودن سازه لازم جهت بیش بیان آن

زهرا شبانی نژاد، فاطمه یوسفی، بهرام محمدسلطانی^{*}، سید جواد مولی

گروه ژنتیک مولکولی، دانشکده علوم زیستی، دانشگاه تربیت مدرس، تهران، ایران
نویسنده مسؤول؛ ایمیل: soltanib@modares.ac.ir

بریافت: ۱۳۹۵/۱/۲۲ پذیرش: ۱۳۹۵/۲/۱۹ انتشار برخط: ۱۳۹۷/۲/۹
مجله پزشکی دانشگاه علوم پزشکی و خدمات بهداشتی - درمانی تبریز. ۱۳۹۷ خرداد و تیر؛ ۵۰(۴۰):۵۶-۵۲

چکیده

زمینه: ERBB2 عضوی از خانواده گیرندهای فاکتور رشد اپیدرمی بوده و بر روی بازوی بلند کروموزوم ۱۷ قرار گرفته است. این گیرنده می‌تواند باعث فعال شدن مسیرهای پیام‌رسانی شده و در نهایت تکثیر سلولی را افزایش و از آپوپتوز جلوگیری کند. RNA های غیرکدکننده تکرشهایی کوچکی هستند که به عنوان تنظیم‌کننده های بیان ژن در سطح پس از رونویسی عمل می‌کنند. miRNA های فرآیندهای مهم سلولی مانند تکثیر، تعابیز، آپوپتوز و تومورزاگی را کنترل می‌کنند. ناحیه ژنومی miRNA ها نشان می‌دهد که آن‌ها در نواحی کروموزومی حساس و مرتبط با سلطان قرار گرفته‌اند. هدف از این تحقیق انجام مطالعات اولیه بیوانفورماتیکی جهت شناسایی miRNA جدید در ژن مهم ERBB2 و ساختن سازه لازم جهت بیش بیان ناحیه مورد نظر است.

روش کار: در تحقیق حاضر ابتدا با نرم‌افزارهای مختلف توانایی ایجاد ساختار ساقه حلقه، محل برش آنزیم‌های Dicer و Drosha و حفاظت‌شدگی ناحیه مورد نظر بررسی گردید. سپس ناحیه اطراف ساختار ساقه حلقه کاندید در حامل بیانی pEGFPC1 کلون گردید.

یافته‌ها: بررسی با نرم‌افزارهای مختلف نشان داد که از این توالی و ساختار miRNA بالغ، با احتمال بالا می‌توان پردازش گردد. جهت ادامه مطالعات سازه مورد نیاز در حامل بیانی pEGFPC1 با موفقیت کلون گردید.

نتیجه گیری: نتایج مبنی بر تجزیه و تحلیل‌های بیوانفورماتیکی نشان‌دهنده امکان تولید miRNA جدید از این ساختار ساقه حلقه می‌باشد.

کلید واژه‌ها: بیوانفورماتیک، ژن ERBB2، کلون سازی

نحوه استناد به این مقاله: شبانی نژاد، یوسفی ف، محمدسلطانی ب، مولی س.ج. مطالعه بیوانفورماتیکی ساختار ساقه حلقه و کلون نمودن سازه لازم جهت بیش بیان آن. مجله پزشکی دانشگاه علوم پزشکی و خدمات بهداشتی - درمانی تبریز. ۱۳۹۷؛ ۵۰(۴۰):۵۶-۵۲.

مقدمه

به عنوان ژن سرطانزا یا سرکوب‌گر تومور در بسیاری از بدخیمی‌های انسانی نقش کلیدی داشته باشدند (۱۱). Let-7 و Lin-4 miRNA هایی هستند که در سی-الگانس (Caenorhabditis elegans) کشف شدند. از آن زمان تاکنون توالی‌های miRNA را زیادی در انسان، گیاهان و جانداران دیگری شناسایی و ثبت شده است (۱۲). آنچهایی که بخش اعظم ژنوم انسان پروتئین کد نمی‌کند انتظار می‌رود بیش از ۵۵۰۰۰ ژن کدکننده miRNA در ژنوم انسان وجود داشته باشد. در ابتدا کشف miRNA های جدید با کلوناسازی و تعیین توالی‌های گستره انجام می‌شد. پس از شناسایی خصوصیات بیشتری از miRNA ها همچون ساختار ثانویه ساقه حلقه و حفاظت‌شدگی، استفاده از بیوانفورماتیک رایج‌تر گردید. نرمافزارهای زیادی براساس پارامترهای لازم برای مطالعات اولیه بیوانفورماتیکی جهت شناسایی miRNA جدید در این ژن انجام و سازه لازم جهت بیش بیان ناحیه مورد نظر ساخته شد. بیش بیان شناسایی miRNA بالغ را تسهیل می‌نماید. علاوه بر این می‌توان از این سازه جهت مطالعه اثرات احتمالی miRNA احتمالی بر فرآیندهای سلولی همچون چرخه سلولی و یا شناسایی ژن‌های هدف آن استفاده نمود.

روش‌کار

پیشگویی بیوانفورماتیکی ساختار سنجاق سری به منظور جستجوی ساختارهای سنجاق سری احتمالی در منطقه ژنومی مورد نظر، ابتدا از نرمافزار SCC profiler (http://miRNA.imbb.forth.gr/SSCprofiler.html) استفاده شد. نرمافزار (MirEval) (http://tagc.univ-mrs.fr/mireval) نیز با آنالیز همزمان تا ۱۰۰۰ نوکلئوتید قادر است توالی‌های شبیه پیش ساز را پیش‌بینی کند. به منظور تشخیص ساختارهای pre-miRNA واقعی miPRED از غیر واقعی از نرمافزار (http://www.bioinf.seu.edu.cn/miRNA) استفاده گردید. بررسی میزان حفاظت‌شدگی با وارد کردن توالی مورد نظر در سایت (UCSC Genome Browser) (http://genome.ucsc.edu) در سال ۲۰۰۴ انجام گردید. با استفاده از نرمافزارهای Mature miR- (Bayes) (http://mirna.imbb.forth.gr/MatureBayes.html) FIND (http://140.120.14.132:8080/MicroRNAProject-Mature Pred) (http://nclab.hit.edu.cn/maturepred) و Web (جایگاه برش آنزیم Dicer و Drosha) miRNA بالغ احتمالی پیش‌بینی گردید. با نرمافزار Mature Bayes محل قرارگیری ساقه و

در انسان چهار عضو از خانواده گیرنده‌های فاکتور رشد اپیدرمی با اسمی ۱، ۲، ۳، ۴ ERBB وجود دارد (۱). از این میان ERBB2 به طور مستقیم به لیگاند متصل نمی‌شود و با تشکیل هتروکمپلکس با سایر اعضای خانواده ERBB1 و EGFR به ویژه ERBB3 در پیام‌رسانی شرکت می‌کند (۲). سلول‌های اپتیلیال طبیعی، میزان کمی از پروتئین ERBB2 را بر روی غشاء پلاسمایی شان به صورت الگوی اختصاصی باقی بیان می‌کنند. این گیرنده توسط ژن ERBB2 واقع بر روی بازوی بلند کروموزوم ۱۷، کد می‌شود. در سلول‌های توموری خطا در همانندسازی DNA، اغلب باعث ایجاد نسخه‌های چندگانه ژن بر روی یک کروموزوم منفرد می‌گردد. تشدید ژن ERBB2 تقریباً در ۲۵ درصد بیماران با نوع مهاجم سرطان پستان دیله می‌شود (۳). این افزایش بیان منجر به بزرگ شدن اندازه تومور، گسترش سرطان به گره‌های لنفاوی، افزایش سلول‌های فاز S سیکل سلولی، آنیوپلاؤیدی در سلول و کاهش گیرنده‌های هورمون‌های استروئیدی می‌گردد. بیش بیان این گیرنده در دیگر سرطان‌ها همچون ریه، پانکراس، کولون، مثانه، نای، معله و رحم نیز گزارش شده است (۴-۶). سلول‌های دارای بیان بالای ERBB2 با گذر سریع از مرحله G1/S، تقسیم سلولی را در زمان کوتاه‌تری انجام می‌دهند (۷). علاوه بر این فعال شدن گیرنده ERBB2 موجب فعال شدن سرین پروتئاز الاستاز، می‌گردد. فرم بالغ و فعل cyclin E با شکسته شدن توسط الاستاز ایجاد می‌گردد. در نتیجه فعال شدن سلول در زمان کوتاه‌تری از مرحله G1 عبور می‌کند (۸). این ها، خانواده‌ای از RNA های کوچک غیرکد کننده به طول ۲۰-۲۴ نوکلئوتید هستند که در تنظیم پس از رونویسی ژن‌ها دخالت دارند (۹). MiRNA ها در گیاهان، جانوران و تعدادی از ویروس‌ها یافت شده و به خوبی در طی تکامل حفظ شده‌اند. این RNA ها عموماً توسط RNA polymers II RNA polyme II RNA رونویسی شده و سپس کالاک‌گذازی و اضافه شدن دم پلی A روی آن‌ها صورت می‌گیرد. رونوشت اولیه توسط آنزیم Drosha بریده و پیش‌ساز ساقه حلقه‌ای به طول تقریبی ۷۰ نوکلئوتید تولید می‌گردد. پس از انتقال این پیش‌ساز از هسته به سیتوپلاسم، توسط آنزیم Dicer بریده شده و فرم بالغ miRNA ایجاد می‌شود. بالغ miRNA mRNA کمپلکس RISC قرار گرفته و با ناحیه ۳' UTR در ژن‌های هدف جفت می‌شود که در نهایت موجب تجزیه یا ممانعت از ترجمه mRNA می‌شود (۱۰). به نظر می‌رسد mRNA ها بتوانند بیان یک سوم از ژن‌های کدکننده پروتئین را تنظیم نمایند. miRNA ها در تنظیم فرآیندهای مختلف سلولی همچون رشد، تکثیر، تمایز، تومورزایی، تهاجم، رگزایی و متاباستاز نقش کلیدی ایفا می‌کنند. بیان غیر طبیعی miRNA ها در بسیاری از سرطان‌ها گزارش شده‌است. این شواهد نشان می‌دهد miRNA ها می‌توانند

مایع همراه با آنتی بیوتیک آمپی سیلین به غلظت نهایی $100 \mu\text{g/ml}$ در دمای 37°C به مدت ۱۶ ساعت کشت کشیده شد. استخراج پلاسمید با استفاده از کیت (Gene All, South Korea) انجام گرفت. کیفیت پلاسمید استخراج شده بر روی ژل آکارز 1% تایید گردید. برش دوگانه با آنزیم های BamH1 و EcoR1 در دمای 37°C روی وکتور استخراج شده pTZ57R/T و وکتور خالی pEGFPC1 انجام گردید. محصول Digestion روی ژل آکارز برده شد و قطعات بریده با استفاده از کیت از ژل استخراج گردید. پس از ligation با آنزیم T4 DNA Ligase قطعات بریده شده و انجام ترسنفورماسیون در باکتری، انتخاب باکتری نوترکیب با پرایمرهای وکتور pEGFPC1 و پرایمرهای قطعه انجام گردید. در نهایت کلنی موردنظر در LB مایع همراه با آنتی بیوتیک کانامایسین به غلظت $100 \mu\text{g/ml}$ کشت داده و پس از استخراج پلاسمید برای تایید نهایی کلون شدن صحیح تعیین توالی صورت گرفت.

ما فتھا

جستجوی اولیه برای یافتن miRNA های احتمالی در زن ERBB2 با استفاده از نرم افزار SCC profiler نشان می داد ناحیه ای استرونوی از زن ERBB2 (Hg17,chr17: 35110423 - 35110526) توانایی ایجاد ساختار ساقه دارد (شکل ۱). نرم افزار MirEval نیز ساختار ثانویه این توالی را ساقه-حلقه و شبیه پیش ساز miRNA پیش بینی نمود. نتایج بدست آمدۀ با نرم افزار miPRED اطلاعاتی در مورد توالی و ساختار ثانویه پیشنهاد و با درصد اطمینان ۳۰.۳٪. آن را یک پیش ساز miRNA واقعی شناسایی نمود (جدول ۱). بررسی میزان حفاظت شدگی توالی مورد نظر با استفاده از نرم افزار UCSC Genome Browser و Blat کردن توالی مورد نظر قابل انجام است. شکل ۲ الگوی حفاظت شدگی مربوط به این توالی را نشان می دهد. همان گونه که از شکل بر می آید این توالی در انسان، موش و موش صحراء، حفاظت شده است.

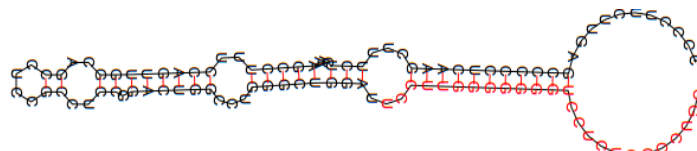
miRNA های احتمالی ساقه های $3'$ و $5'$ بررسی شد. در نرم افزار FIND-miR پس از وارد کردن توالی مورد نظر، توالی پیش ساز miRNA و ساختار دوم احتمالی آن پیشنهاد شد. همچنین این نرم افزار miRNA های بالغ احتمالی ساقه های $5'$ و $3'$ را نیز معروفی و اهداف احتمالی آنها را با نرم افزار Target scan برسی نمود. به منظور کلون کردن پیش ساز miRNA ابتدا با استفاده از نرم افزار های Oligo7 طراحی پرایمر انجام گردید. پرایمر Forward با توالی TCCAAGAGACTGGCGTTTC و پرایمر Reverse با توالی TATGCCACCCCTCCACTCCA پس از Blast در پایگاه داده NCBI و تایید اختصاصی مطلوب برایمراه، انتخاب گردید. DNA ژنوم انسانی طبق روش استاندارد از سلول های سفید خونی استخراج و به عنوان الگو جهت انجام PCR استفاده گردید. واکنش PCR با آنزیم Taq پلیمراز و پرایمراهی ذکر شده انجام شد. برای تعیین بهترین دمای اتصال، PCR در گرadiانت دما از 54° درجه سانتیگراد تا 60° درجه سانتیگراد انجام و دمای 58° درجه سانتیگراد انتخاب گردید. برنامه PCR برای افزاید قطعه مورد نظر به شرح زیر انجام گرفت: 5° دقیقه و اسرشت اولیه در دمای 94° درجه سانتیگراد سپس 30° چرخه تکثیر که هر چرخه شامل: 30° ثانیه و اسرشت سازی در دمای 95° درجه سانتیگراد، 30° ثانیه دمای اتصال در 58° درجه سانتیگراد، 30° ثانیه دمای طویل سازی در 72° درجه سانتیگراد انجام گردید. پس از انجام PCR بر روی DNA ژنومی، قطعه تکثیر شده با اندازه مورد نظر روی ژل آگارز $1/5\%$ مشاهده و با استفاده از کیت (Gene All, South Korea) از ژل استخراج گردید. واکنش PCR مورد نظر و وکتور pTZ57R/T در 16°C به مدت ۱ ساعت انجام و با روش شوک حرارتی در باکتری مستعد DH5 α ترانسفورم گردید. کلونی های نوترکیب با استفاده از پرایمراهی وکتور (M13) و قطعه، بررسی و در نهایت (Luria-Bertani LB) و (agar صفحه) انتخاب و در

chr	nucStart	nucEnd	strand	Max_Expression	Max_Exp_location	HMMScore	Cell_Line	2ry_Structure
17	35110423	35110526	top_strand	18.5	35110503	16.0	HeLa	2ry_Structure

۲

17 35110423 35110526 1 CCCCTCTTGTAGCCCCCTCAAGCTTCTCAAAGCCTTCCAGTTGCAGCCTCGCCTCCGGACTGGCTGGCTGGATTCCTGGGGGGTCTCTGCCCTGC
.....(((((((((.....(((((.....((.....))))))).....))))))).....-49.3

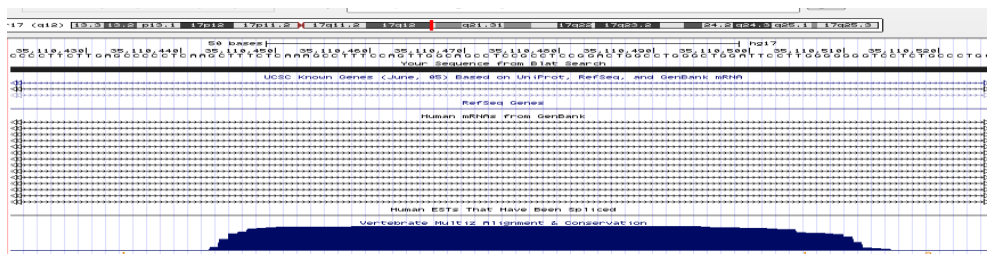
ج



شكل ۱: آنالیز توالی توسعه نرم افزار SSC profiler (الف) جایگاه کروموزومی و رشته قاراگیری ساختار ساقه حلقه را بر اساس نسخه هدفem ژنوم انسان، مشخص می‌کند (ب) توالی و ساختار دوم پیش‌بینی شده را نشان می‌دهد (ج) نحوه جفت شدن بازها و تشکیل ساختار ساقه حلقه آورده شده است. نواحی قرمز رنگ در دمکسلولی Hela بیان می‌شوند.

جدول ۱: نتایج به دست آمده از آنالیز توالی با نرم افزار miPRED

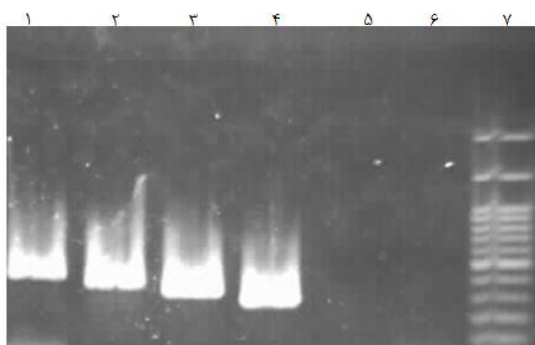
Pre-miRNA-like Hairpin? Yes
 Pre-miRNA-like Hairpin? Yes
 The Secondary Structure :
 ((((((((((...(((((..((((((..((....)).))).))).))).))).))).)))
 MFE: -40.30
 p-value (shuffle times: 1000): 0.03
 Prediction result: Real microRNA precursor
 Prediction confidence: 60.3%



شکل ۲: بررسی میزان حفاظت شدیدی توالی مورد نظر آنالیز با نرم افزار UCSC Genome Browser نشان می‌دهد توالی در طول تکامل به خوبی حفظ شده است.

با کترول منفی (DNA با آب جایگزین شد) الکتروفورز گردید. نتایج ژل نشان داد که اندازه محصولات PCR با اندازه قطعات مورد انتظار یکسان بوده‌اند. سپس قطعه استخراج شده از ژل در TA وکتور pTZ57R/T کلون گردید. کلونی‌های نو ترکیب بر اساس مقاومت به آنتی‌بیوتیک آمپیسیلین غربالگری شدند. کلونی‌های دارای قطعه مورد نظر با کلونی PCR چندگانه انتخاب شدند. با استفاده از جایگاه‌های EcoRI و BamH1 در تنه حامل TA قطعه مورد نظر بریده شد و در حامل pEGFPC1 بریده شده کلون گردید و پس از غربالگری با کانامایسین و کلونی PCR باکتری نو ترکیب مناسب انتخاب گردید (شکل ۳). در روش کلونی PCR با تلفیقی از پرایمرهای حامل و قطعه روی باکتری‌های مورد نظر PCR انجام می‌گیرد. در نهایت سازه مورد نظر جهت تعیین توالی ارسال و تایید گردید.

Mature Bayes با آنالیز توالی وارد شده جایگاه ساقه ۳ و ۵ را مشخص و miRNA بالغ هر ساقه را پیشگویی نمود. مقایسه نتایج حاصل از این نرم افزار و miPRED نشان داد هر دو نرم افزار جایگاه ساقه‌ها را تقریباً یکسان پیش بینی نموده‌اند. در نرم افزار miR-FIND پس از وارد کردن توالی مورد نظر، نرم افزار یک توالی پیش‌ساختار MiRNA و ساختار دوم احتمالی آن را پیشنهاد نمود. همچنین این نرم افزار miRNA های بالغ احتمالی ساقه ۵ و ۳ را نیز معرفی و اهداف احتمالی آن‌ها را با نرم افزار Target scan بررسی می‌نماید. کلون سازی ساختار ساقه‌حلقه در حامل pEGFPC1 بدین صورت انجام گرفت. انجام واکنش PCR روی ژنوم انسانی با استفاده از پرایمرهای اختصاصی طراحی شده صورت گرفت که موجب تکثیر قطعه مورد نظر به اندازه ۳۰۰ جفت باز گردید. محصولات PCR بر روی ژل آگارز ۱.۵٪ همراه



شکل ۳: الکتروفورز ژل آگارز محصول کلونی PCR شش گاله: از چپ به راست: ستون ۱) Forward و کتون، ستون ۲) Reverse و کتون و قطعه ستون ۳) Forward و کتون، ستون ۴) Reverse و کتون، ستون ۵) Forward قطعه و کتون، ستون ۶) Reverse و کتون، ستون ۷) نشانگر DNA قطعه و Reverse Forward و کتون، ستون ۴) Forward قطعه و کتون، ستون ۵) Forward قطعه و کتون، ستون ۶) Reverse و کتون، ستون ۷) نشانگر DNA

بحث

تقریباً یکسانی را معرفی کرده و یکدیگر را تایید می‌کنند. در مطالعات بیوانفورماتیکی جهت کاهش میزان خطا لازم است از چندین نرمافزار و سایت به موازات هم استفاده شود تا در نهایت به ساختاری دست یابیم که بیشترین امتیاز را برای واقعی بودن پیش ساز mRNA احتمالی کلون نمودن آن در یک حامل بیانی مناسب است تا بتوان سازه مورد نظر را پیش بیان نمود (۱۴). بدین منظور از حامل pEGFPC1 استفاده شد. از جمله خصوصیات مفید این حامل پیش بیان مناسب و بالای قطعه کلون شده و دارا بودن نشانگر GFP است که میزان ترانسفکت شدن حامل به درون سلول‌ها را نشان می‌دهد. این حامل تعداد نسخه بالای در سلول E-coli داشته و بنابراین می‌توان مقدار مناسب آن را استخراج نمود. علاوه براین به دلیل اندازه مناسب (۴/۷ کیلو جفت باز) نرخ ترانسفکت آن به ردھهای سلولی نسبتاً بالا است (۱۷). پس از تکثیر قطعه از روی DNA ژنوم انسانی با واکنش PCR قطعه در حامل TA کلون گردید. دلیل استفاده از حامل TA اطمینان از هضم دوگانه با آنزیم‌های محدودالاثر است. سپس قطعه بریده شده در حامل بیانی کلون گردید. نتایج کلونی PCR شش گانه نشان میدهد قطعه مورد نظر با اندازه مناسب و در جهت صحیح در حامل کلون گردیده است که این نتایج با تعیین توالی تایید گردید. با کلون کردن این پیش ساز احتمالی miRNA امکان شناسایی ساده‌تر فرم بالغ و تاثیر آن بر ژن‌های هدف احتمالی و فرایندهای سلولی همچون چرخه سلولی فراهم می‌گردد.

نتیجه‌گیری

با توجه به مطالعات بیوانفورماتیکی انجام شده به نظر می‌رسد این توالی و ساختار توانایی پردازش miRNA بالغ را داشته باشد. این نتایج نیاز به تایید آزمایشگاهی دارد. به این منظور سازه لازم جهت بیش بیان با مرفقیت ساخته شد. در ادامه مطالعات لازم است با استفاده از نتایج بیوانفورماتیکی و سازه کلون شده وجود miRNA به تایید آزمایشگاهی برسد.

قدرتانی

این پژوهش بخشی از پایان‌نامه کارشناسی ارشد رشته ژنتیک مولکولی تصویب شده در دانشکده علوم زیستی دانشگاه تربیت مدرس بوده و با حمایت مالی این دانشگاه انجام شده است.

References

- Zhang H, Berezov A, Wang Q, Zhang G, Drebin J, Murali R, et al. ErbB receptors: from oncogenes to targeted cancer

در سال Dokanehifard ۲۰۱۵ و همکاران با انجام مطالعات بیوانفورماتیکی و پیش بیلن سازه ساختارهای ساقه حلقه موفق به کشف miRNA های جدیدی در ژن TrkC شدند (۱۴). ساختار ثانویه ساقه- حلقه از خصوصیات ضروری یک پیش ساز mRNA است. بنابراین تعدادی از نرمافزارهای کشف mRNA نیز بر همین اساس طراحی شده و امکان تشکیل ساختار ساقه SSC حلقه را بررسی می‌کنند. از جمله این نرمافزارها می‌توان به profiler اشاره نمود. پس از وارد کردن جایگاه کروموزومی توالی ساختار ثانویه توالی را پیش‌بینی و انرژی آزاد آن را محاسبه می‌شود. علاوه بر این این نرمافزار قادر است بر اساس داده‌های بیانی سلول‌های HepG2 و HeLa سطوح بیان ساختار پیش‌بینی شده نیز بررسی کند (۱۵). نتایج حاصل از آنالیز توالی با این نرمافزار نشان می‌دهد این توالی دارای ساختار ثانویه ساقه_حلقه با انرژی آزاد مناسب بوده و ناحیه‌ای از آن در رده سلولی Hela دارای بیان می- باشد. استفاده از نرمافزار miPred برای تشخیص ساختارهای واقعی پیش ساز RNA از دیگر ساختارهای غیرواقعی شبه ساختارهای ساقه_حلقه‌ای بسیار مفید است. برای این نرم افزار ۹۸/۲ درصد اختصاصی و ۹۵ درصد حساسیت گزارش شده- است (۱۶). آنالیز توالی ساقه_حلقه با این نرمافزار نشان داد این ساختار می‌تواند با درصد اطمینان قابل قبولی یک پیش ساز واقعی miRNA باشد. مطالعات با مقایسه ژنهای miRNA انسانی و همولوگهای آنها در ژنوم موش، رت، جوجه و شمپانزه نشان می- دهد که الگوی حفظ شدگی خاصی بین این ژنها وجود دارد. بنابراین حفاظت شدگی توالی بهویژه در نواحی ایترونی می‌تواند دلیلی بر پردازش miRNA از ساختار ساقه_حلقه باشد. بررسی UCSC Genome Browser نشان می‌دهد این توالی با نرمافزار miRNA لازم است توسط آنزیم- شده است. یک پیش ساز واقعی miRNA بریده شوند تا miRNA Dicer و Drosha با آن تولید گردد. جهت پیشگویی توالی شناسایی این دو آنزیم از نرمافزارهای miR-FIND و Mature Bayes توالي پیش ساز را پیش بینی و miRNA های بالغ ساقه های او ۵' miR-FIND براساس نرم- افزار Target Scan اهداف miRNA های بالغ احتمالی را بررسی می‌نماید. نتایج بررسی توالي با این دو نرمافزار miRNA های بالغ احتمالی را معرفی می‌کند که می‌توان از این اطلاعات جهت تایید آزمایشگاهی miRNA بالغ استفاده نمود. نتایج پیش بینی پیش ساز سه نرمافزار miR-FIND و Mature Bayes SSC profiler توالي

therapies. *Journal of Clinical Investigation* 2007; **117**(8): 2051-2058. doi: 10.1172/JCI32278

2. Linggi B, Carpenter G. ErbB receptors: new insights on mechanisms and biology. *Trends in Cell Biology* 2006; **16**(12): 649-656. doi: 10.1016/j.tcb.2006.10.008
3. Piccart-Gebhart A, Procten M, Leyland-Jones B, Goldhirsch A, Untch M, Smith I, et al. Trastuzumab after adjuvant chemotherapy in HER2-positive breast cancer. *New England Journal of Medicine* 2005; **353**(16): 1659-1672. doi: 10.1517/14656566.7.5.631
4. Gravalos C, Jimeno A. HER2 in gastric cancer: a new prognostic factor and a novel therapeutic target. *Annals of Oncology* 2008; **19**(9): 1523-1529. doi: 10.1093/annonc/mdn169
5. Teplinsky E, Muggia F. Targeting HER2 in ovarian and uterine cancers: Challenges and future directions. *Gynecologic Oncology* 2014; **135**(2): 364-370. doi: 10.1016/j.ygyno.2014.09.003
6. Koeppen H, Wright B, Burt A, Quirke P, McNicol A, Dybdal N, et al. Overexpression of HER2/neu in solid tumours: an immunohistochemical survey. *Histopathology* 2001; **38**(2): 96-104. doi: 10.1046/j.1365-2559.2001.01084.x
7. Sahin Ö, Fröhlich H, Löbke C, Korf U, Burmester S, Majety M, et al. Modeling ERBB receptor-regulated G1/S transition to find novel targets for de novo trastuzumab resistance. *BMC Systems Biology* 2009; **3**(1): 1. doi: 10.1186/1752-0509-3-1
8. Le X, Claret F, Lammayot A, Tian L, Deshpande D, LaPushin R, et al. The role of cyclin-dependent kinase inhibitor p27Kip1 in anti-HER2 antibody-induced G1 cell cycle arrest and tumor growth inhibition. *Journal of Biological Chemistry* 2003; **278**(26): 23441-23450. doi: 10.1074/jbc.m300848200
9. Meng F, Henson R, Wehbe J, Hania G, Kalpana J, Samson T. MicroRNA-21 regulates expression of the PTEN tumor suppressor gene in human hepatocellular cancer. *Gastroenterology* 2007; **133**(2): 647-658. doi: 10.1053/j.gastro.2007.05.022
10. Bartel D.P. MicroRNAs: genomics, biogenesis, mechanism, and function. *Cell* 2004; **116**(2): 281-297. doi: 10.1016/S0092-8674(04)00045-5
11. Krol J, Loedige I, Filipowicz W. The widespread regulation of microRNA biogenesis, function and decay. *Nature Reviews Genetics* 2010; **11**(9): 597-610. doi: 10.1038/nrg2843
12. Lindow M, Kauppinen S. Discovering the first microRNA-targeted drug. *The Journal of Cell Biology* 2012; **199**(3): 407-412. doi: 10.1083/jcb.201208082
13. Oulas A, Boutla A, Gkirtzou K, Reczko M, Kalantidis K, Poirazi P. Prediction of novel microRNA genes in cancer-associated genomic regions-a combined computational and experimental approach. *Nucleic Acids Research* 2009; **37**(10): 3276-3287. doi: 10.1093/nar/gkp120
14. Dokanehiifard S, Soltani B, Parsi S, Hosseini F, Javan M, Mowla J. Experimental verification of a conserved intronic microRNA located in the human TrkB gene with a cell type-dependent apoptotic function. *Cellular and Molecular Life Sciences* 2015; **72**(13): 2613-2625. doi: 10.1007/s0018-015-1868-4
15. Parsi S, Soltani B, Hosseini E, Tousi S, Mowla J. Experimental verification of a predicted intronic microRNA in human NGFR gene with a potential pro-apoptotic function. *PloS one* 2012; **7**(4): e35561. doi: 10.1371/journal.pone.0035561
16. Jiang P, Wu H, WangW, MaW, Sun X, Lu Zg. MiPred: classification of real and pseudo microRNA precursors using random forest prediction model with combined features. *Nucleic Acids Research* 2007; **35** suppl 2: W339-W344. doi: 10.1093/nar/gkm368
17. Zhang G, Gurtu V, Kain S.R. An enhanced green fluorescent protein allows sensitive detection of gene transfer in mammalian cells. *Biochemical and Biophysical Research Communications* 1996; **227**(3): 707-711. doi: 10.1006/bbrc.1996.1573.